

شماره ۱۳۰، بهار ۱۴۰۰

صص: ۲۰۳~۲۱۴

کشف و فراخوانی چندشکلی های تک نوکلئوتیدی بر روی توالی ژن های متفاوت بیان شده بین دو جمعیت گاو هلشتاین (بوس تاروس) و کلیستانی (بوس ایندیکوس)

مینا سلیم پور *

دانشجوی دکترای گروه علوم دامی، دانشکده علوم کشاورزی، دانشگاه گیلان.

محمد حسین بناء بازی (نویسنده مسئول) *

استادیار، موسسه تحقیقات علوم دامی کشور، سازمان تحقیقات، آموزش و ترویج کشاورزی، کرج، ایران

تاریخ دریافت: مهر ۱۳۹۸ تاریخ پذیرش: تیر ۱۳۹۹

شماره تماس نویسنده مسئول: ۰۲۶۳۴۲۵۶۱۲۸

Email: m.banabazi@areeo.ac.ir

شناسه دیجیتال (DOI): 10.22092/asj.2020.123350.1879

چکیده

در مطالعه‌ی حاضر چندشکلی‌های تک نوکلئوتیدی بر روی توالی ژن های متفاوت بیان شده بین دو جمعیت گاو هلشتاین و کلیستانی بررسی شد. برای این منظور ترانسکریپтом (توالی کل mRNA) از پایگاه SRA استخراج و سپس از طریق هم رده‌ی و مکان یابی خواشش RNA-seq بر روی ژنوم مرجم گاو، آنالیز بیان ژن افتراقی میان دو جمعیت انجام شد. در نهایت از میان ۲۴۶۱۶ ژن و ۲۶۷۱۶ ایزوform شناخته شده در گونه گاو، ۴۱ ژن بین دو جمعیت مورد مطالعه بطور معنی داری متفاوت بیان داشتند ($p < 0.000015$). آنالیز ماهیت شناسی ژن و مسیرهای بیولوژیکی نشان داد این ژن‌ها در ۲۰ مسیر درگیر می باشند. اکثر این ژن‌ها در مسیرهای پاسخ ایمنی، زنجیره انتقال الکترون، تحمل تنفس حرارتی و مقاومت به بیماری درگیر هستند. کشف و فراخوانی چندشکلی‌های تک نوکلئوتیدی بر روی توالی کل ترانسکریپтом این دو جمعیت به فهرستی شامل به ترتیب ۵۳۴۷۸ و ۱۴۵۴۴۳ مورد SNP بر روی ترانسکریپتم آنها انجامید. از این میان، تعداد ۲۴ مورد SNP در هلشتاین و ۱۵۴ مورد در کلیستانی بر روی توالی ۲۳ ژن از مجموع ۴۱ ژن متفاوت بیان شده قرار داشتند ۱۵۷ SNP جدید و ۲۱ مورد دارای شماره rs در پایگاه های اطلاعاتی بودند. احتمالاً تفاوت بیان ژنهای حامل SNP را می توان به SNP های واقع بر توالی آنها نسبت داد. تعیین ماهیت این SNP ها و مشخص نمودن عامل یا غیرعامل بودن آنها، مطالعه بیان اختصاصی آللی و محاسبه پوشش ترانسکریپتمی هر یک از آنها به روشنتر شدن صحت و ساز و کار این موضوع کمک خواهد نمود.

واژه‌های کلیدی: کشف و فراخوانی SNP، گاو، ترانسکریپتم، RNA-Seq، بیان ژن افتراقی.

Animal Science Journal (Pajouhesh & Sazandegi) No 130 pp: 203-214

The Single Nucleotide Polymorphisms (SNP) discovery and calling on genes differentially expressed between Holstein (*Bos taurus*) and Cholistani (*Bos indicus*) cattle populations.

By: Mina Salimpour¹, Mohammad Hossein Banabazi²

¹ Ph.D candidate, Department of Animal Sciences, Faculty of Agricultural Sciences, University of Guilan, Rasht, Iran

² Assistant Professor, Department of Biotechnology, Animal Science Research Institute of Iran (ASRI), Agricultural Research, Education and Extension Organization (AREEO), Karaj, Iran.

Received: October 2019

Accepted: July 2020

In the present study, the single-nucleotide polymorphisms and their transcriptome coverage on differential gene expressions were investigated between Holstein and Cholistani population. Thus, the transcriptomes (mRNA Sequence) for a US Holstein and a Pakistani Colistani cow population were assembled by aligning and mapping the RNA-Seq reads on the bovine reference genome. The differential gene expression analysis was performed. Finally, 24616 genes and 26 716 isoforms on the transcriptome of these two populations were found among 41 genes that were showed significantly different expression. (P.value < 0,000015). Analysis of the gene ontology (GO) and routes indicated that they are involved in, 20 pathways A large number of genes in the pathways leading to immune response, leading to translate the electron transfer resistance to thermal stress and disease. A total of 53 478 and 145443 have SNP discovered in the genome of which 154 SNP in Cholistani population and 24 SNP in Holstein population were among 41 genes were significant In 18 genes, no SNP was observed. 23 genes had at least one SNP in each of the populations. The number of SNP in the Cholistani breed was almost 5 times expression higher than the Holstein breed. These genes also had a high expression in the Cholistani population breed. This can be one of the causes of differences in gene expression between two populations in this study.

Key words: SNP discovery and calling, Cattle, Transcriptome, RNA-Seq, Differential Gene Expression.

مقدمه

اصلی مطالعه حاضر می باشد، از توالی RNA (RNA-Seq) استفاده شده است. این داده ها واجد تمامی ویژگی های مورد هدف این مطالعه را است. این توالی ها در سطح ترانسکریپتوم، امکان بررسی بیان دقیق و کمی همه ژنها را هم زمان با در اختیار داشتن توالی هر ژن و مطالعه SNP های واقع بر آنها در اختیار قرار می دهد. امروزه استفاده اطلاعات ژنتیکی مبتنی بر SNP ها در برنامه های اصلاح نژاد گاو به عنوان ابزاری برای بهبود انتخاب های فتویی مرسوم است. همچنین پیشرفت در ژنتیک مولکولی و ظهور فناوری های جدید منجر به تشخیص SNP های مرتبط با ژن های موثر بر صفات اقتصادی و شناسایی واریانت های ژنتیکی

متداول ترین و فراوانترین شکل تفاوت ژنتیکی در سطوح مختلف و متنوع ژنتیکی از فرد تا گونه و بالاتر از آن، چندشکلی های تک نوکلئوتیدی هستند که فراوانی بیش از ۱ درصد در یک جمعیت داشته باشد.

<http://www.nature.com/scitable/definition/single-nucleotide-polymorphism-snp-295> تفاوتها در توالی های رمزگر و یا تنظیمی واقع شوند تاثیرشان در بیان ژن و محصولات آنها نیز بروز خواهد نمود. به منظور بررسی چندشکلی های تک نوکلئوتیدی در توالی های رمزگر و انطباق آنها با میزان تفاوت بیان ژنها در بین دو زیر گونه گاو که هدف

ایندیکوس (کلیستانی) با استفاده از داده های هوانگ و همکاران (۲۰۱۲) انجام شده است.

مواد و روش ها

داده های مورد استفاده

داده های RNA-Seq از ادغام ۴۰ نمونه خون کامل گاو های ماده هشتادین از مرکز گاو شیری دانشگاه ویسکانسین آمریکا (*Bos taurus*) و ۴۵ گاو ماده کلیستانی (*Bos indicus*) مزرعه گوجاتپیر شهر باهاوالپور واقع در ایالت پنچاب پاکستان تولید شد (Huang و همکاران، ۲۰۱۲). به این منظور نمونه های خون بلا فاصله پس از اخذ از سیاه رنگ دمی برای هر گروه با هم مخلوط شد. سپس گلوبول های سفید خون (لکوسیت) جدا شده و از آنها استخراج گردید. سپس نمونه های RNA پلی آدنین شده و کتابخانه mRNA از آنها تهیه شد. این کتابخانه ها با استفاده از Illumina Genome Analyzer IIx. توالی یابی گردیدند. خوانش های حاصل از توالی به صورت جفتی (paired) یا دو سویه و با طول ۷۵ چفت باز بود.

داده های خام در فرمت sra ، http://www.ncbi.nlm.nih.gov/sra/SRS454433 و http://www.ncbi.nlm.nih.gov/sra/SRS454432 به ترتیب برای نژاد کلیستانی و هشتادین از سایت NCBI دریافت شد و کلیه آنالیزها در محیط سیستم عامل لینوکس اوبونتو ۱۴.۰۴ و بر روی کلاستر گروه علوم دامی دانشگاه تهران مورد آنالیز قرار گرفت. مراحل آنالیز شامل: تبدیل فرمت sra به fastq با استفاده از نرم افزار sratoolkits نسخه ۲.۵.۲ و سنجش کیفیت داده ها با استفاده از FastQC (Andrews, 2010) نسخه ۳.۱۱.۰ بود. استاندارد کد گذاری کیفیت برای سیستم ایلومینای مورد استفاده در این مطالعه ۱.۵ Illumina بود که استاندارد سنجش کیفیت به روش کلامیک توالی یابی سانجر بر مبنای از صفر تا ۴۰ بود. سپس براساس نتایج سنجش کنترل کیفیت ویرایش خوانش ها با استفاده از نرم افزار Trimmomatic (Bolger و همکاران، 2014) نسخه ۳۳.۰ انجام شد. این ویرایش شامل حذف آداپتورها و خوانش های بی کیفیت بود. ترانسکریپتم RNA-seq برای هر یک از دو زیر

عامل دخیل در فنوتیپ مورد نظر گردیده است (Djari و همکاران، 2013). فناوری تعیین توالی RNA^۱ ، داده هایی دقیق تر و کمی تر از انواع دیگر داده های مطالعه بیان ژن می باشد (Wang و همکاران، 2008 ; Flintoft, 2009 ; Marguerat and Bahler, 2010 ; Hass and zody, 2010). بدین ترتیب، تفاوت میزان رونویسی در بین قطعات کوتاه RNA بصورت تفاوت در تعداد دفعات خوانش آنها به هنگام توالی یابی بروز می نماید (Ekblom and Wilhelm and landry, 2010 ; galindo 2009). این فناوری یک روش کارآمد و به صرفه برای شناسایی SNP در گونه های اهلی و با هزینه کم در نواحی رونویسی شده است (Canovas و همکاران، 2010). بر اساس آخرین اطلاعات ژنوم مرجع گاو، تاکنون بیش از ۲۴۰۰۰ ژن و ۲/۲ میلیون SNP بروی ۲/۸۷ گیگاباز طول ژنوم گاو شناسایی شده است (Bae و همکاران، 2010). دو زیر گونه ی گاو وجود دارد. زیر گونه ی Bos taurus که از اروپا و شمال امریکا منشا یافته و بیشتر ویژه مناطق معتدل است و زیر گونه ی Bos indicus که کوهان دار (زیبو) بوده و در مناطق حاره ای پراکنده است. این گونه از جنوب آسیا منشا یافته است (Fries and Ruvinsky, 1999). تفاوت فنوتیپی قابل توجهی بین این دو زیر گونه وجود دارد، از جمله این که گاو های زیبو تنفس های محیطی را بهتر تحمل می کنند و در مقابل انگل ها و بیماری ها مقاوم تر هستند (Dorak و همکاران، 1978; Hansen, 2004). هوانگ و همکاران (۲۰۱۲) داده های RNA-seq را برای سه جمعیت گاو هشتادین، کلیستانی و جرسی تولید کردند و پروفایل بیان ژن این سه جمعیت را مقایسه کردند. مطالعه حاضر با هدف شناسایی چند شکلی های تک نوکلئوتیدی در ژن های متفاوت بیان شده در بین دو زیر گونه ی گاو بوس تاروس (هشتادین) و بوس

^۱ - RNA-seq

آنالیز ماهیت و مسیر های ثانی به صورت آنلاین بروی بانک اطلاعاتی (<http://pantherdb.org/>) انجام شدند.

کشف SNP

کشف SNP بروی ترانسکریپتوم تشکیل شده و فیلتر نمودن آن
ها با استفاده از نرم افزارهای نسخه ۰.۱.۱۹ samtools و
Bedtools انجام شد. همچنین تعداد SNP هایی از آخرین به
روز رسانی اطلاعات مربوط به واریانت های ژنوم گاو (فایل vcf)
که در توالی ترانسکریپتوم تشکیل شده حضور داشتند نیز محاسبه
گردید. فهرست SNP های فیلتر شده با فهرست ژن های متفاوت
بیان شده تطبیق داده شد و SNP های واقع بر توالی این ژن ها
استخراج گردید در آخر SNP ها در پایگاه اطلاعاتی
[مریبوطه](https://asia.ensembl.org/index.html) (<https://asia.ensembl.org/index.html>) مورد

بررسی قرار گرفتند. بحث و نتایج

پس از تبدیل فرمت به ترتیب ۲۱,۰۷۸,۴۷۷ و ۲۰,۹۴۰,۰۶۳ خوانش کوتاه جفتی (از هر دو انتها توالی یابی شده) به طول ۷۵ جفت باز، برای جمعیت‌های هلشتاین و کلیستانی بدست آمد. شاخص ده گانه کنترل کیفیت حاکی از کیفیت مناسب داده‌ها به ازای هر باز و خوانش صحیح همه‌ی آن‌ها براساس میزان، تعداد N به ازای هر باز بود (سلیم پور، ۱۳۹۵). درصد مکان یابی برای خوانش‌ها به طور میانگین به ترتیب برای کلیستانی و هلشتاین ۷۹.۳ و ۸۰.۷ بود.

شناسایی، ژن ها

خروجی تجزیه و تحلیل داده ها و نتایج آنالیز بیان ژن افتراقی ۲۴۶۱۶ ژن و ۲۶۷۱۶ ایزوفرم بر روی ترانسکریپtom این دو جمعیت را نشان داد که در این میان ۴۱ ژن شناسایی شدند که بیان متفاوت و معنی داری را داشتند (جدول ۱۵) (p.value < 0.0000).

گونه براساس هم رده بیفی خوانش‌ها و مکان یابی آن‌ها برای ژنوم مرجع به ترتیب با نرم افزار Bowtie2 و TopHat2 نسخه ۲،۰،۸ انجام گردید (Langmead and Salzberg, 2012). ژنوم UMD3.1 رفنس مورد استفاده برای تشکیل ترانسکرپتوم و پر ایش (۸۲) بود.

اطلاعات حاشیه نویسی به کار رفته نیز مربوط به این ویرایش ذکر شده بود. ژنوم مرجع و حاشیه نویسی آن از بانک اطلاعاتی Ensemble دریافت شد.

ftp://ftp.ensembl.org/pub/release82/fasta/bos_taurus/dna/Bos_taurus.UMD3.1.dna.toplevel.fa.gz
ftp://ftp.ensemble.org/pub/release-84/gtf/bos_taurus/Bos_taurus.UMD3.1.84.gtf.

اندازه‌ی فاصله‌ی درون کتابخانه‌ای و انحراف معیار آن برای استفاده از کد TopHat2 با استفاده از (Li & Durbin, 2009) و به روش نمونه‌گیری از داده‌ها انجام شد که به bwa ترتیب برای هلشتاین ۱۰۰ و ۱۵ برای کلیستانی ۱۸۰ و ۴۵ برآورد گردید.

آنالیز پیان افتراقی ڙن

تشکیل پروفایل بیان ژن برای هریک از دو زیر-گونه با استفاده از پکیج Trapnell (Trapnel و همکاران، ۲۰۱۲) انجام شد.

در این مجموعه نرم افزاری تلفیق دو ترانسکریپتوم با استفاده از Cuffmerg و آنالیز بیان افتراقی ژن با استفاده از Cuffdiff عمل آمد. مصورسازی نتایج در قالب گراف با استفاده از پکیج CummeRbund افزاری R نرم تحت انجام شد. (<http://www.bioconductor.org/>)

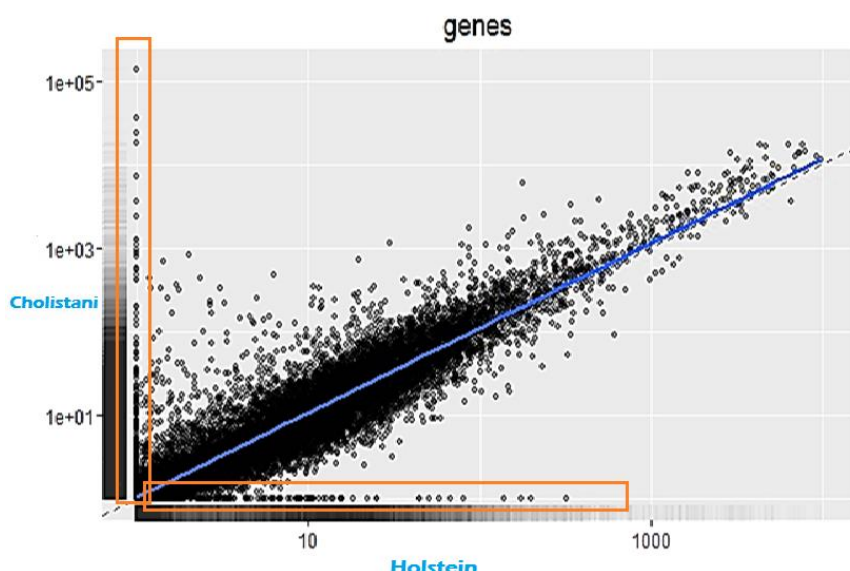
جدول ۱. نتایج مربوط به بیان افتراقی ژن ها در هر یک از دو جمعیت

میزان بیان در هلشتاین(FPKM)	میزان بیان در کلیستانی(FPKM)	سطح معنی داری	نام ژن	حاشیه نویسی کد ژن های
13.3081	237.87	0.00005	IL1B	ENSBTAG00000001321
3.83998	123.648	0.00005	TGM3	ENSBTAG00000001785
11.0105	197.806	0.00005	FOS	ENSBTAG00000004322
0	2.94292	0.0001	F3	ENSBTAG00000007101
0	54.0777	0.00005	-	ENSBTAG00000007296
2.32824	94.2759	0.0001	EGR1	ENSBTAG00000010069
0	14.0117	0.0001	-	ENSBTAG00000011161
78.4322	1117.25	0.00005	JUNB	ENSBTAG00000012046
0	4.27815	0.00005	-	ENSBTAG00000014332
0	52.883	0.00005	-	ENSBTAG00000016688
2.16751	0	0.0001	EFEMP1	ENSBTAG00000017448
0	14.9134	0.00005	-	ENSBTAG00000018506
22.5135	320.062	0.00005	DUSP2	ENSBTAG00000020350
0	0.986594	0.0001	FAM71A	ENSBTAG00000021166
0	6.08931	0.00005	-	ENSBTAG00000024311
0	21.1625	0.00005	-	ENSBTAG00000027787
0	10.2812	0.00005	COX7B	ENSBTAG00000030735
0	1.37063	0.00015	-	ENSBTAG00000031458
85.5355	1716.15	0.00015	SDS	ENSBTAG00000031814
0	854.165	0.00005	U1	ENSBTAG00000032308
0	29.1696	0.00005	DYNLL1	ENSBTAG00000034170
0	11.2761	0.0001	-	ENSBTAG00000034824
0	474.901	0.00005	U3	ENSBTAG00000037147
0	582.344	0.00005	RPS15A	ENSBTAG00000037600
0	116.812	0.00005	CXCL3	ENSBTAG00000037778
0	12.9728	0.00005	-	ENSBTAG00000038064
0	11.074	0.00005	-	ENSBTAG00000038411
9.68099	254.454	0.00005	GZMB	ENSBTAG00000039813
0	135031	0.00005	-	ENSBTAG00000043545
0	2.48719	0.00005	DUSP4	ENSBTAG00000044208
0	68.6657	0.0001	-	ENSBTAG00000045497
0	9.41077	0.00005	EIF2S3Y	ENSBTAG00000045544
0	2.74239	0.00005	DDX3Y	ENSBTAG00000045750
0	134.128	0.00005	-	ENSBTAG00000045914
0	10.1181	0.00005	PNKD	ENSBTAG00000047277
0	7.47594	0.00015	-	ENSBTAG00000047354
0	19.3221	0.00015	G0S2	ENSBTAG00000047766
0	3.32136	0.00005	-	ENSBTAG00000047966
0	1.45347	0.00005	-	ENSBTAG00000048102
0	9.83664	0.00005	ZRSR2Y	ENSBTAG00000048172
28.909	1145.45	0.00005	TPT1	ENSBTAG00000048229

* در ستون جایگاه ژن، عدد سمت چپ شماره ی کروموزوم و اعداد بعد از آن شماره نوکلئوتید شروع و پایان ژن را نشان می دهد.

بیشترین میزان بیان در ژن‌های کروموزوم X به این دلیل قرارگیری ژن‌های مربوط به این کروموزوم و نیز به دلیل طولانی بودن این کروموزوم در بین ژنوم گاو بود. از میان ۴۱ ژن تنها ۱ ژن ۲ ایزوفرم داشت.

این ژن بروی کروموزوم ۵ از نوکلتوتید ۹۹۶۴۷۱۲۲ تا نوکلتوتید ۹۹۷۰۱۶۳۰ از نظر عملکرد مشابه ژن‌های NKG2A و NKG2B (پروتئین پیوسته غشایی نوع ۲) است که نام دو ایزوفرم آن ENSBTAT00000056514 و



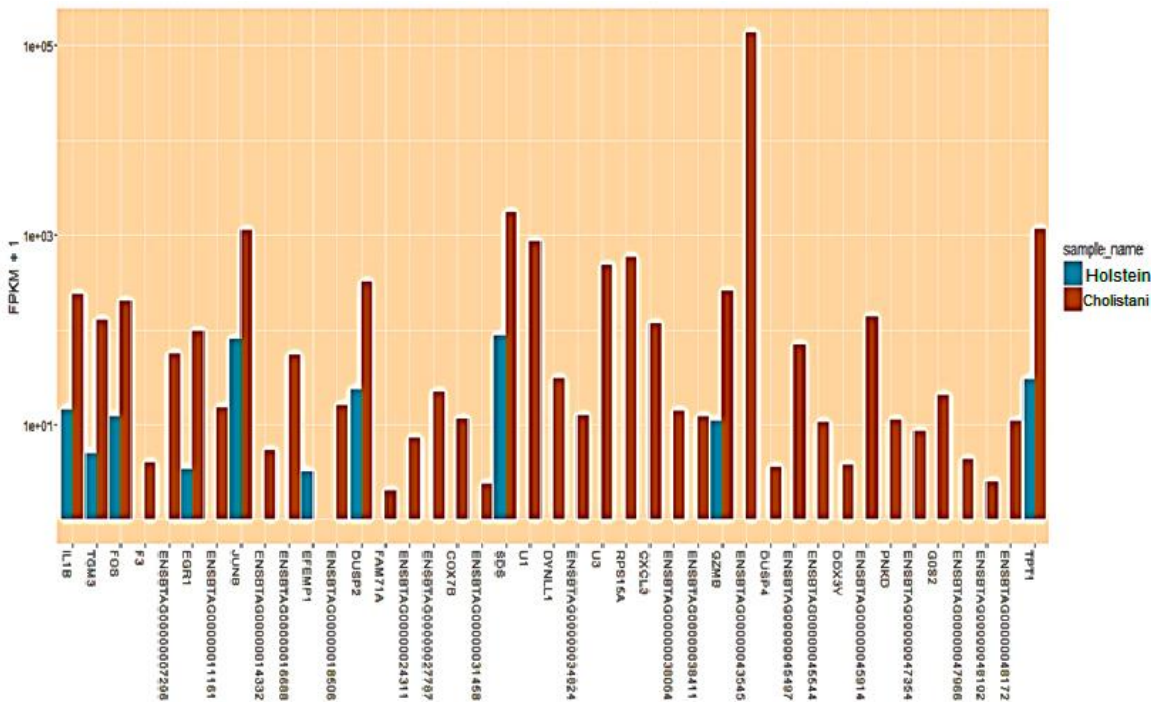
نمودار ۳. نمودار نقطه‌ای تفاوت بیان ژن بین دو جمعیت هلشتاین و کلیستانی

تفاوت بیان ژن بین دو گونه به صورت هیستوگرام در نمودار ۴ آورده شده است. همچنان که از این نمودار برمی‌آید بخشی از تفاوت بیان ژن ناشی از آن است که برخی از ژن‌ها فقط در جمعیت کلیستانی بیان شده اند و بیان آنها در جمعیت هلشتاین صفر بوده است. از جمله بیشترین میزان تفاوت بیان ژن مربوط به یک ژن میتوکندریالی به نام ENSBTAG00000043545 میباشد که با مقدار FPKM ۱۳۵۳۱ فقط در جمعیت کلیستانی

بیان شده است. این ژن در موش به عنوان ژن کد کننده tRNA در سنتر اسید‌آmine فنیل آلانین یکی از بیست اسید‌آmine اصلی یاخته‌های زنده، نقش دارد.

<https://www.ncbi.nlm.nih.gov/search/all/term>) این ژن در گاو تاکنون حاشیه نویسی نشده و عملکردی برای آن گزارش نشده است.

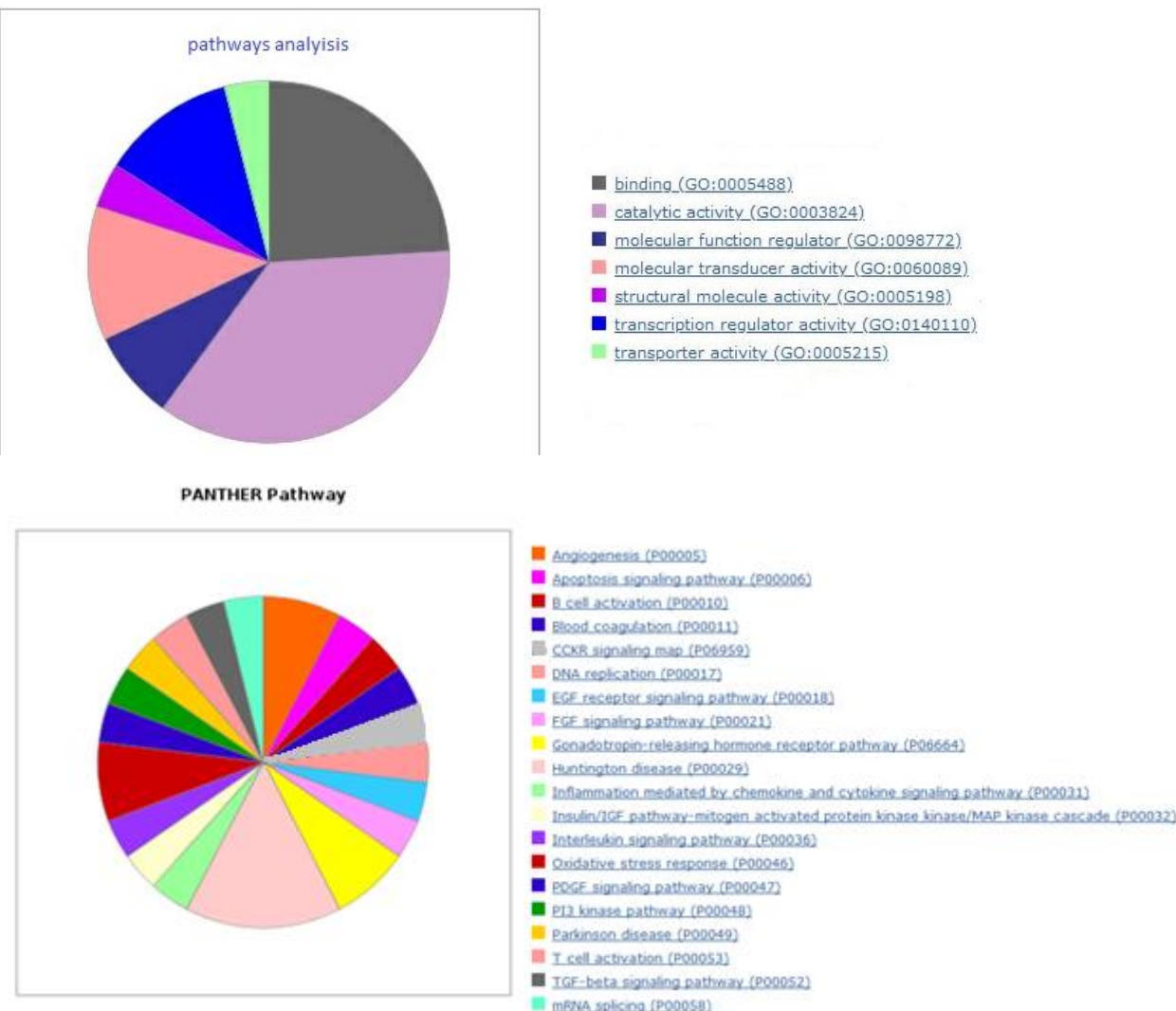
نمودار ۳. نمودار نقطه‌ای تفاوت بیان ژن بین دو جمعیت هلشتاین و کلیستانی



نمودار ۴. نمودار تفاوت بیان ژن بین دو جمعیت هلشتاین و کلیستانی

آمیلوئید متصل و عملکرد آن را متعادل کند). Ohsawa و همکاران، (۲۰۰۱) همچنین با اتصال به فیرونکتین علاوه بر چسیدن سلول ها با تاثیر بروی برخی مسیر های درون سلولی، باعث مهار مهاجرت سلولی در تومور ها می شود). Zheng و همکاران (۲۰۱۵،

۴۰ ژن در جمعیت کلیستانی نسبت به جمعیت هلشتاین مقدار بیان عدد (FPKM) بیشتری داشت. ژن EFEMP1 تنها ژن موجود در بین ژن های معنی دار بود که در جمعیت هلشتاین بیان بیشتری را نشان می داد. این ژن فیبولین را کد میکند. فیبولین پروتئین ماتریکس خارج سلولی است و می تواند به پروتئین پیش ساز



نمودار ۱۰. نمودار آنالیز مسیر در ژن های متفاوت بیان شده در جمعیت کلیستانی. راهنمای رنگی کنار نمودار جزئیات انواع مسیرها را نشان می دهد.

کشف SNP های موجود در ژن های با بیان متفاوت در توالی ترانسکرپتوم تشکیل شده در جمعیت گاو هلشتاین و کلیستانی به ترتیب ۵۳۴۷۸ و ۱۴۵۴۴۳ مورد SNP در سراسر ژنوم کشف شد (بنابازی، ۱۳۹۵). برخی از این SNP ها جدید بوده و با تراشه های تجاری متراکم مورد استفاده برای تعیین ژنو تیپ گاو مشترک نبودند Banabazi و همکاران، ۲۰۱۵. سپس این محققین کاربرد استفاده از فهرست SNP های مشترک با تراشه های تجاری را در پیش بینی های مبتنی بر ژنوم یک صفت مهم اقتصادی یعنی باقیمانده مصرف خوراک (RFI) در گاو هلشتاین

آنالیز مسیر (Pathway analysis) در جمعیت کلیستانی نیز نشان داد (نمودار ۱۰)، ژن های متفاوت بیان شده بیشتر در مسیرهای مرتبط با ایمنی با واسطه سلولی (فعال شدن سلول های T)، پاسخ به تنفس (تنش اکسیداتیو) و آنزیوژنیزیر (تشکیل رگ های خونی جدید) در گیر هستند. به عبارت دیگر، این ژنها در مسیرهای منجر به تحمل تنفس های محیطی بویژه تنفس حرارتی، ایمنی و مقاومت به بیماری نقش دارند که با نتایج Huang و همکاران (۲۰۱۲) مطابقت داشت.

گاما گلوتامیل ترانسفراز E را کد گذاری می کند). Aeschlimann و همکاران ، 1998 ; Wang و همکاران، 1995) که در تشکیل پلاکت سلولی در اپیدرم و فولیکول مو دخیل است. ژن SDS نیز در بیوسنتر و سوخت و ساز سرین و ترئونین و گلیسین نقش دارد و بیشترین دخالت در بیوسنتر سرین و آنزیم سرین دهیدراتاز را دارد که باعث تبدیل سرین به پیروات میشود.

تا کنون بررسی های کمی با هدف کاوش SNP با استفاده از داده های RNA-Seq در دامهای اهلی انجام شده است در RNA-پژوهشی که Djari و همکاران، 2013 با استفاده از Seq انجام دادند ، SNP ۳۴۳۷۶ جایگاه SNP را در عضله سه گوساله نر لیموزین کشف کردند. ۵۵ درصد SNP ها در نواحی رمزگر یافت شدند و حدود ۲۲ درصد منجر به یک تغییر اسیدآمینه ای شدند. در پژوهش های دیگر Park و همکاران، 2012 بر روی توالی ترانسکریپتوم حاصل از دو بافت خون و عضله شش اسب تاروبرد مسابقه ، تعداد ۱۸۳۹۷۳ جایگاه SNP پیدا نمودند که اکثر آنها (۱۷۱۵۵۸ مورد، ۹۰٪) در مقایسه با ۱/۱ میلیون SNP گزارش شده قبلی در دو بانک اطلاعاتی برای اسب جدید بودند. (Zhang و همکاران، 2013) نیز تعداد ۴۰۴۸۱ و ۳۸۸۵۱ RNA-seq جایگاه SNP را با استفاده از داده های گوشه ای گوسفند یافت نمودند که در مجموع تعداد ۵۹۱۳۹ جایگاه در دو جمعیت متفاوت گزارش کردند.

مطالعه نمودند. این فهرست کاهاش یافته شامل حدود ۱۰۰ هزار SNP در مقایسه با حدود ۷۰۰ هزار مورد موجود در تراشه های متراکم تجاری رایج منجر به بهبود حدود ۲ درصدی در برآورده ارزش های اصلاحی ژنومی گردید (بنابازی و همکاران ۱۳۹۵). نتایج بررسی ژن های گزارش شده در جدول نشان داد تعداد ۱۵۴ مورد SNP در نمونه جمعیت کلیستانی و ۲۴ مورد در نمونه جمعیت هلشتاین در بین ۴۱ ژن بودند. در ۱۸ ژن SNP مشاهده نشد. ۲۳ ژن دارای حداقل یک مورد SNP در هر یک از جمعیت ها در توالی ژن های مورد نظر بودند.(جدول ۲). ۱۵۷ مورد SNP جدید و ۲۱ مورد دارای شماره IS در پایگاه های اطلاعاتی بودند. این می تواند از علت های تفاوت بیان این ژن ها باشد که موجب سازگاری دو زیر گونه مورد مطالعه با اقلیم های خاص آنها شده و همچنین باعث بروز تفاوت های فوتیبی بارز در این صفات بین آنها در طول زمان گردیده است.

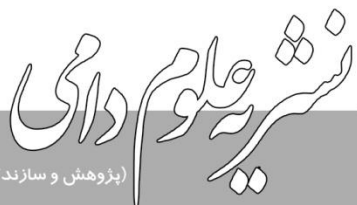
تعداد SNP ها در نژاد کلیستانی تقریبا ۵ برابر نژاد هلشتاین بدست آمد و علت آن احتمالا انتخاب مصنوعی در نژاد هلشتاین است که باعث تشکیل SNP هایی درون این ژن ها شدند و این دو نژاد را در دو گروه متفاوت ژنتیکی قرار دادند. ژن های TGM3 و EGR1 SDS در دسته ژن های دارای SNP زیاد قرار گرفت. این ژن در پاسخ ایمنی و التهابی ، چرخه ای استرس و همچنین در پاسخ به مایکوفنولیک اسید، داروی سرکوب کننده دستگاه ایمنی بیان می شود . همچنین ژن TGM3 در انسان پروتئین گلوتامین

موقعت SNP ها در ملستان	موقعت SNP کلیستایی	تعداد SNP	تعداد کشف شده در تراو	موقعت کروموزومن رن	حاشیه نویسی کد زن های کپستایی
46410539,46413011,4 417272	6411100,46416361,46	4641022	-	53262099,5326620,53268538,532271189,53271407,53272355 ,532744316,532744385,53285734,53286509,53288998,53289 078,53291114,532911896,5329433,53298174,53303588,533 03597,	53266020,53268422,5 3272331,53286509,53 291896
13.53261634-53304213	18	5	4	0	86883777,86884139,86884739,86886415
10.86883738-86887169	4	0	-	-	-
3:49110155-49121034	5	0	49110693,4911095,49110770,49115665,49120714 ,51441698,51441842,51441942,51442351	-	-
7:51438726-51442500	10	2	51439166,51439362,51439906,51440955,51441122	51440964,51441523	-
7:13851130-13852933	3	0	99660430,99675955,99679525,99679741,9967841,99679944, 99687260,99687400,99695508,99695509,99695722,99695900 ,99696126,99696311,99696530,99696561,99696740, 99696126,99696311,99696530,99696561,99696740,	9968021, 99695508	-
5:99647122-99701630	17	2	66722693	-	-
X:66722398-66723397	1	0	2251039,2251487,2251542,2251591,225284,2252143,225235 0	-	-
11:2250454-2252492	7	0	-	-	-
16.72811910-72814133	3	0	72812017,7212049,72813023	-	-
17.63302946-63311098	23	5	63306065,63306985,63306972,63307454,63307548,63307635 ,63307779,63308743,63308871,63309548,63309573,6330981 2,63309812,63309820,63309932,63309997,63300106,133001 53,63310399,63310480,63310582,63310620,63310771,63310 853	63303514,63306513,6 3307454,63308458,84 308427	-
20:2680573-3054892	2	0	2984940,2986058	-	-
6:90811061-90813079	9	0	90811129,90811383,90811419,90811464,90812431,90812253 4,90812724,90813024,90813059,	-	-
21:35135770-35137852	5	3	35136142,35136715,35136897,35137656,35137781	35137019,35137067,3 5137076	-
M/T:5680-7799	17	1	5718,5743,5754,5783,5753,5890,5917,6115,6235,6340,6379,6 436,6460,6727,6772,6881,6922,	-	-
27:24815380-2482237	6	0	24815597,24816375,24817718,24820015,24827881,24828277	-	-
21:66794060-66764393	2	0	66764091,6674093	-	-
X:143364919,14365129,14337557,143736948,143737387	5	0	-	-	-
16:75539495-75540404	6	0	75539625,75539651,75539784,75539804,7554055,75540396	-	-
16.6155902-6156793	2	0	6156311,6156325	-	-
X:143736737-143800954	3	0	143736948,143737387,143768373	-	-
X:142664999-142690152	1	0	142686441	-	-
25:1394200-1436118	4	1	1394221,1394303,1417133,1417713	1394218	-

موقعت و کلوبیدی SNP ها
در ملستان

در ملستان

۲۱۲



منابع

- Ghaderi Zefrei M., S.R Miraei Ashtiani, M.H. Banabazi, A., Nejati Javaremi, I.G. Imumorin.(2016).Single nucleotide polymorphisms (SNP) on transcriptome of Holstein cows shared with Illumina bovine SNP arrays. Online Journal of Veterinary Research (OJVR).20(3):177-182.
- Canovas, A., G. Rincon, A. Islas-Trejo, S. Wickramasinghe, and J. Medrano. 2010. SNP discovery in the bovine milk transcriptome using RNA-Seq technology. Mammalian Genome 21(11-12):592 - 598.
- Djari, A., D. Esquerre, B. Weiss, F. Martins, C. Meersseman, M. Boussaha, C. Klopp, and D. Rocha. 2013. Gene-based single nucleotide polymorphism discovery in bovine muscle using next-generation transcriptomic sequencing. BMC Genomics 14(1):307.
- Dorak, M. T. (Ed.). (2007). Real-time PCR. Taylor & Francis. Utech, K. B. W., Wharton, R. H., & Kerr, J. D. (1978). Resistance to Boophilus microplus (Canestrini) in different breeds of cattle. Crop and Pasture Science, 29(4), 885-895.
- Ekblom, R., & Galindo, J. (2011). Applications of next generation sequencing in molecular ecology of non-model organisms. Heredity, 107(1), 1-15.
- Flintoft, L. (2008). Transcriptomics: digging deep with RNA-Seq. Nature Reviews Genetics, 9(8), 568-568.
- Fries, R., Ruvinsky, A . 1999 The Genetics of Cattle. New York: CABI Publishing.
- Haas, B. J., & Zody, M. C. (2010). Advancing RNA-seq analysis. Nature biotechnology, 28(5), 421
- Hansen, P. J. 2004. Physiological and cellular adaptations of zebu cattle to thermal stress. Animal Reproduction Science, 82, 349-360.
- Huang, W., Nadeem, A., Zhang, B., Babar, M., Soller, M., & Khatib, H. (2012). Characterization and comparison of the leukocyte transcriptomes of three cattle breeds. PLoS One, 7(1), e30244.
- بنابازی، م. ۱۳۹۵. تدوین استراتژی های محاسباتی به منظور تلفیق داده های ترانسکریپتومی (RNA-Seq) در پیش بینی های مبتنی بر ژنوم گاو شیری. رساله دکتری. دانشگاه تهران. ایران
- بنابازی، م.، م. ناصر خلیل و س. ر. میرایی آشتیانی. ۱۳۹۲. شبکه تنظیم بیان ژن های چرخه سلوالی ساکارومیسین سرویسیه به روش همبستگی وزن. سومین همایش ملی بیوتکنولوژی کشاورزی ایران. دانشگاه فردوسی مشهد.
- بنابازی، م.، م. ناصر خلیل و س. ر. میرایی آشتیانی. ۱۳۹۱. الگوریتم شناسایی ژن های متفاوت بیان شده در داده های حاصل از ریزآرایه مخمر ساکارومیسین سرویسیه با استفاده ازبسته های نرم افزار R. سومین همایش ملی بیوتکنولوژی کشاورزی ایران. دانشگاه فردوسی مشهد.
- سلیم پور، م. ۱۳۹۵. بررسی بیان افتراقی ژن بین دو جمعیت گاو هلشتاین و کلیستانی (یک نژاد پاکستانی) با استفاده از توالی یابی RNA-seq. پایان نامه کارشناسی ارشد. دانشگاه تهران. ایران
- Aeschlimann D., MK. Koeller, BL. Allen-Hoffman and DF. Mosher. 1998. Isolation of a cDNA encoding a novel member of the transglutaminase gene family from human keratinocytes. Detection and identification of transglutaminase gene products based on reverse transcription-polymerase chain reaction with degenerate primers. J Biol Chem. 273 (6): 3452–60.
- Andrews, S.(2010). FastQC: a quality control tool for high throughput sequence data. Available online at: <http://www.bioinformatics.babraham.ac.uk/projects/fastqc>.
- Bae, J. S., Cheong, H. S., Kim, L. H., NamGung, S., Park, T. J., Chun, J. Y & Shin, H. D. (2010). Identification of copy number variations and common deletion polymorphisms in cattle. BMC genomics, 11(1), 1.

- Langmead, B. and S. Salzberg. (2012). Fast gapped-read alignment with Bowtie 2. *Nature Methods* 9:357-359.
- Li, H. and R. Durbin. (2009). Fast and accurate short read alignment with Burrows–Wheeler transform. *Bioinformatics* 25(14):1754 - 1760.
- Marguerat, S., & Bähler, J. (2010). RNA-seq: from technology to biology. *Cellular and Molecular Life Sciences*, 67(4), 569-579.
- Ohsawa I, Takamura C, Kohsaka S. Fibulin-1 binds the amino-terminal head of β -amyloid precursor protein and modulates its physiological function. *J Neurochem*. 2001; 76(5): 1411-20.
- Park, K.-D., J. Park, J. Ko, B. Kim, H.-S. Kim, K. Ahn, K.-T. Do, H. Choi, H.-M. Kim, S. Song, S. Lee, S. Jho, H.-S. Kong, Y. Yang, B.-H. Jhun, C. Kim, T.-H. Kim, S. Hwang, J. Bhak, H.-K. Lee, and B.-W. Cho. 2012. Whole transcriptome analyses of six thoroughbred horses before and after exercise using RNA-Seq. *BMC Genomics* 13(1):473.
- Pennisi, E. (2012). ENCODE project writes eulogy for junk DNA. *Genomics Science*, 337(1159), 61.
- Wang, Z., M. Gerstein, and M. Snyder. 2009. RNA-seq: a revolutionary tool for transcriptomics. *Nature Reviews Genetics* 10:57 - 63.
- Wang, M., IG. Kim, PM. Steinert and OW. McBride. 1995. Assignment of the human transglutaminase 2 (TGM2) and transglutaminase 3 (TGM3) genes to chromosome 20q11.2. *Genomics*. 23 (3): 721-2.
- Wilhelm, B. T., & Landry, J. R. (2009). RNA-Seq , quantitative measurement of expression through massively parallel RNA-sequencing. *Methods*, 48(3), 249-257.
- Zhang, C., G. Wang, J. Wang, Z. Ji, Z. Liu, X. Pi, and C. Chen. 2013. Characterization and Comparative Analyses of Muscle Transcriptomes in Dorper and Small-Tailed Han Sheep Using RNA-Seq Technique. *PLoS ONE* 8(8):e72686.
- Zheng P, Wang Q, Teng J, Chen J. Calumenin and fibulin-1 on tumor metastasis: Implications for pharmacology. *Pharmacol Res*. 2015; 99: 11-5.